



QK2232751

中国耳鼻咽喉头颈外科

ZHONGGUO ER BI YANHOU TOUJING WAIKE

CHINESE ARCHIVES OF
OTOLARYNGOLOGY-HEAD AND NECK SURGERY

2022年7月 第29卷 第7期
July 2022, Vol.29, No.7

论著

血清上皮钙黏素、基质金属蛋白酶-2、基质金属蛋白酶-9的表达预测甲状腺微小乳头状癌患者中央区淋巴结转移的价值 朱涛, 凌科技, 刘斌

耳鸣患者瞬态诱发耳声发射的对侧抑制效应观察 雷一波等

鼻腔鼻底异位牙及其所致囊肿的临床特征分析 温晓慧等

非鼻部疾病儿童头颅CT和MRI检出鼻窦炎阳性率分析 黄雪琨等

成人喉乳头状瘤不良进展的特点及相关因素分析 丁栋等

儿童扁桃体腺样体肥大与过敏相关指标对比观察 米晓琳, 曹志伟

第7期

ISSN 1672-7002



07>



微信二维码



投稿二维码

万方数据

中华人民共和国国家卫生健康委员会 主管
中国医疗保健国际交流促进会 主办
北京市耳鼻咽喉科研究所

目 次

第29卷, 第7期, 2022年7月28日出版

论 著

- 409 血清上皮钙黏素、基质金属蛋白酶-2、基质金属蛋白酶-9的表达预测甲状腺微小乳头状癌患者中央区淋巴结转移的价值
朱涛, 凌科技, 刘斌

- 414 国产耳廓矫正器对新生儿耳廓形态畸形矫正的效果及影响因素
武俊男, 隋艳华, 邓华霞, 张婉玲, 孙凯华

- 417 耳鸣患者瞬态诱发耳声发射的对侧抑制效应观察
雷一波, 石静华, 耿美满, 卢伟

- 420 调节性T细胞和辅助性T细胞17的免疫平衡与分泌性中耳炎动物模型的相关性研究
李娟娟, 唐志元, 张艳红, 王朝霞, 唐志辉, 曾宪海

- 425 鼻腔鼻底异位牙及其所致囊肿的临床特征分析
温晓慧, 刘锦峰, 刘明宇, 杜晶艳, 戴金升, 王宁宇

- 429 非鼻部疾病儿童头颅CT和MRI检出鼻窦炎阳性率分析
黄雪琨, 邱惠军, 康庄, 郑瑞, 吴庆武, 王心悦, 袁田, 杨钦泰

- 433 慢性鼻窦炎伴鼻息肉患者伴发下气道炎症不同状态的肺功能分析
彭敏, 张丹梅, 刘璐璐, 王银霞

- 438 遗传性出血性毛细血管扩张症相关 $ACVRL1$ 基因新突变——c.1246+5G>C
赵亚丽, 王向东, 张媛, 张罗

- 442 成人喉乳头状瘤不良进展的特点及相关因素分析
丁栋, 尹高菲, 郭伟, 黄志刚

- 446 全麻非插管可视喉镜下杓状软骨复位术疗效分析
徐博怀, 余璐洁, 朱斌斌, 高彬, 韩东园, 裴奇阳, 何勇

- 451 儿童扁桃体腺样体肥大与过敏相关指标对比观察
米晓琳, 曹志伟

- 456 软腭肥厚对低温等离子射频消融术治疗腺样体肥大患儿术后通气功能的影响
李亮, 王正茂, 陈仁杰, 俞祖华

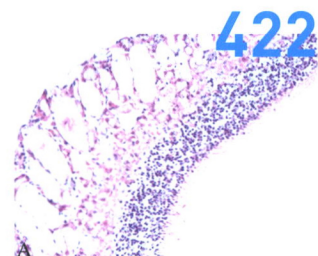


图2 A OME组中耳黏膜, 黏膜层增厚, 组织水肿, 腺体扩张,
HE×200。OME组 模型组

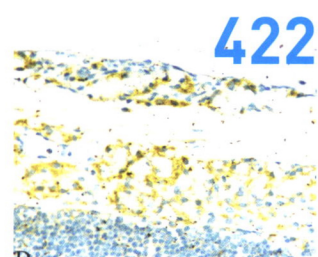


图3 D CON组FOXP3抗原表达于胞浆及胞膜, 呈深黄色, 免疫组化×200。CON组 对照组

短篇论著

460 多功能开口器下低温等离子射频切除声门上型喉癌的初步研究

吴允刚, 丁德涛, 张辉, 孙聚兴, 张瑾, 王彩华, 马林祥, 杨欣欣, 李晓瑜

463 丹参酮IIA磺酸钠联合局部激素对老年突发性聋患者纯音听阈及内耳微循环的影响

张锦堂, 范小帆, 李跃进

466 鼻内镜下两种入路治疗上颌窦内翻性乳头状瘤的围手术期对比

黄河银, 张勤修, 吴小娟, 唐泺, 樊利, 曹刘, 庞锐

病例报道

468 喉大细胞神经内分泌癌1例

刘其鑫, 申霖, 申良方

469 双侧甲状旁腺腺瘤核素显像表现不同1例

陈凤梅, 张穹, 雷旭东, 彭珍珍, 陈明

471 颈部脓肿并发颈内静脉血栓形成1例

闫鑫, 俞萍, 刘平, 陆银萍, 刘迎新

综述

473 中性粒细胞/淋巴细胞比值与喉癌预后相关性的Meta分析

季洁, 陈亚军

消息

445 《中国耳鼻咽喉头颈外科》杂志关于投稿的严正声明

450 2022年本刊直接使用缩略语的医学词汇

426

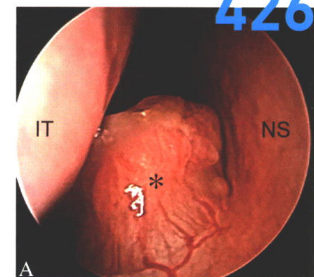


图1 鼻内异位牙的鼻内镜下所见，
A 右侧鼻腔，异位牙(*)。IT 下鼻
甲，NS 鼻中隔

430

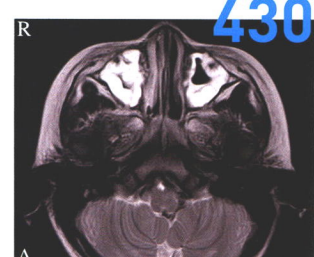


图3 患儿, 男, 3岁。头颅MRI,
A 轴位T2WI, 双侧上颌窦内黏
膜增厚, 呈不均匀高信号影, 其
内少量积液

Contents

Volume 29, Number 7, July 28, 2022

Original Articles

- 409 A study of the value of expression of serum E-cadherin, matrix metalloproteinase-2 and matrix metalloproteinase-9 in predicting central lymph node metastasis in the patients with thyroid microcarcinoma**
ZHU Tao, LING Keji, LIU Bin
- 414 The effects and influencing factors of domestic auricle orthodontic device on neonatal auricle deformity**
WU Junnan, SUI Yanhua, DENG Huaxia, ZHANG Wanling, SUN Kaihua
- 417 Observation of the contralateral suppression of transient evoked otoacoustic emissions in tinnitus patients**
LEI Yibo, SHI Jinghua, GENG Meiman, LU Wei
- 420 Research on correlation between Treg/Th17 immune balance and animal model of otitis media with effusion**
LI Juanjuan, TANG Zhiyuan, ZHANG Yanhong, WANG Zhaoxia, TANG Zihui, ZENG Xianhai
- 425 Clinical characteristics of patients with ectopic teeth in nasal cavity and cysts caused by ectopic teeth**
WEN Xiaohui, LIU Jinfeng, LIU Mingyu, DU Jingyan, DAI Jinsheng, WANG Ningyu
- 429 Analysis of the positive rate of rhinosinusitis in children with nonrhinologic diseases by head CT and MRI**
HUANG Xuekun, QIU Huijun, KANG Zhuang, ZHENG Rui, WU Qingwu, WANG Xinyue, YUAN Tian, YANG Qintai
- 433 Pulmonary function analysis of chronic rhinosinusitis with nasal polyps accompanied by airway inflammation in different states analysis of pulmonary function states in different lower airway inflammation in patients with chronic rhinosinusitis and nasal polyps**
PENG Min, ZHANG Danmei, LIU Lulu, WANG Yinxia
- 438 A novel mutation of *ACVRL1* (c.1246+5G>C) associated with hereditary hemorrhagic telangiectasia**
ZHAO Yali, WANG Xiangdong, ZHANG Yuan, ZHANG Luo
- 442 Analysis of the characteristics and factors associated with the adverse progression of adult laryngeal papilloma**
DING Dong, YIN Gaofei, GUO Wei, HUANG Zhigang
- 446 Analysis of curative effect of closed reduction of cricoarytenoid joint with visual laryngoscope under non-intubated general anesthesia**
XU Bohuai, YU Lujie, ZHU Binbin, GAO Bin, HAN Dongyuan, QIU Qiyang, HE Yong
- 451 The relationship between adenotonsillar hypertrophy and allergy related indicators**
MI Xiaolin, CAO Zhiwei
- 456 The effect of soft palate hypertrophy on the postoperative ventilation function of children with adenoid hypertrophy treated by low-temperature plasma radiofrequency ablation**
LI Liang, WANG Zhengmao, CHEN Renjie, YU Zuhua

Review

- 473 The correlation between neutrophils -to-lymphocytes ratio and the prognosis of laryngeal carcinoma: a Meta-analysis**
JI Jie, CHEN Yajun

医生有医生样 | 之



中国网络电视台制 中央美院宋协伟、叶寄作